

Attention 機構の熱力学的解釈：geDIG ゲージによる構造評価と F 正則化

Thermodynamic Interpretation of Attention: Structural Evaluation via geDIG Gauge and F-Regularization

宮内 和義 *1

Kazuyoshi Miyachi

*1独立研究者

Independent Researcher

Transformer attention lacks a unified scalar metric for quality. We propose the geDIG gauge, which interprets attention as a directed graph and operationally bridges the Free Energy Principle and the Minimum Description Length by trading off structural cost (edit-path cost) against information gain (entropy reduction and relative shortest-path gain): $\mathcal{F} = \Delta EPC_{norm} - \lambda(\Delta H_{norm} + \gamma\Delta SP_{rel})$. On BERT/GPT-2, real attention is more structured than random baselines and shows a sharp layer-wise transition. The same tendency is reproduced on Llama 3.0/3.1, while it is weaker on Phi-3. Finally, adding \mathcal{F} as a regularization term in DistilBERT fine-tuning on SST-2 yields a small improvement under weak regularization, suggesting the gauge can serve as an actionable factor to intervene in internal structure.

1. はじめに

Transformer[1] は自然言語処理の基盤モデルとして広く普及しているが、Attention 機構の「質」を定量評価する統一指標は確立されていない。既存研究ではヘッドの pruning 基準 [8] や層の役割解釈 [7] が個別に議論されているが、「なぜその Attention パターンが良いのか」を原理的に説明する枠組みは不足している。

本研究では、Attention パターンを有向グラフとして構築し、自由エネルギー原理 (FEP) [4] と最小記述長 (MDL) [5] を橋渡しする geDIG ゲージで評価する手法を提案する。geDIG は元来、動的知識グラフにおける「いつ新しい知識を受け入れるか (When)」という判断基準として設計された指標である。本研究では、この枠組みを Transformer の内部表現に適用し、「Attention 層は情報の相転移的な遷移を示す可能性がある」という仮説を検証する。

本研究の貢献は以下の 3 点である：

1. geDIG の理論的背景 (FEP-MDL 橋渡し) と Attention への適用手法の提示
2. 実 Attention が Random より構造化されていること、および層別の遷移的挙動の観測
3. F 正則化による因果的示唆 (性能向上の観測)

2. geDIG の理論的背景

2.1 設計前提と直観

geDIG は「構造を更新するか否か」を判断するためのゲージであり、以下の前提に立つ：

1. 構造はグラフで表現できる：知識や関係は頂点と辺で表され、編集はエッジ追加・削除として表現できる。
2. 更新にはコストがある：構造を変えるほど編集コスト（複雑さ）が増え、過剰な更新は不利である。

連絡先: 宮内 和義 (独立研究者), 所在地: 日本, E-mail: miyauchikazuyoshi@gmail.com

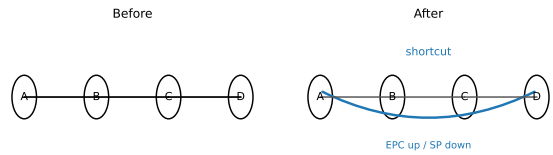


図 1: geDIG の直観的解釈：ショートカット追加で編集コストが増える一方、平均最短路が短縮される。

3. 更新には価値がある：良い更新は不確実性を減らし、経路を短縮して推論効率を高める。

この 3 点を同時に満たすとき、「コストと利得の釣り合い」を单スカラーディメンションで扱える。geDIG はそのための統一ゲージである。

(1) 直観例：ショートカット追加

鎖状グラフに 1 本のショートカットを追加する場合、編集コスト (ΔEPC_{norm}) は増えるが、平均最短路の改善 (ΔSP_{rel}) が大きければ、総合的には「構造が良くなった」と判断される。一方、無秩序に多数のエッジを追加しても経路短縮が起きなければ、コストだけが増えて不利になる。geDIG はこの直観を形式化し、構造編集の是非を数値で判定できるようにする。

2.2 問題設定：「When」の判断基準

動的に変化する知識グラフ (または情報構造) に新たな要素が注入される場面を考える。このときシステムは、その要素を統合すべきか、棄却すべきかを判断しなければならない。この判断には、構造編集によるコストと情報利得の天秤が必要である。

従来の RAG (Retrieval-Augmented Generation) は「何を取るか (What)」の最適化に長けるが、「いつ受け入れるか (When)」の規範を欠く [11]。geDIG はこのギャップを埋めるために設計された統一ゲージである。

2.3 自由エネルギー原理と MDL の橋渡し

geDIG は 2 つの理論的枠組みを操作的に橋渡しする：
自由エネルギー原理 (FEP) : Friston の自由エネルギー原理

表 1: geDIG の各項の意味と理論的対応

項	意味	理論対応	符号
ΔEPC_{norm}	編集経路コスト	MDL: $L(M)$	大→悪
ΔH_{norm}	エントロピー差	FEP: 驚き	負→秩序化
ΔSP_{rel}	相対経路ゲイン	MDL: 圧縮	正→効率化
λ, γ	重み係数	情報温度	-

[4] は、生物システムが「予測誤差（驚き）」を最小化するよう行動・学習するという枠組みである。geDIG では、エントロピー項 ΔH が「情報の曖昧さ・不確実性」に対応し、これを低減することが「秩序化」として解釈される。

最小記述長 (MDL) : MDL 原理 [5] は、データとモデルの総記述長 $L(M) + L(D|M)$ を最小化する枠組みである。geDIG では、構造コスト ΔEPC_{norm} が $L(M)$ (モデルの複雑さ) に、情報利得 ΔIG_{norm} が $L(D|M)$ (データの圧縮効率) に対応する。

この対応により、geDIG は「構造の複雑さ」と「情報の整理度」のトレードオフを単一スカラーで評価する。

2.4 統一ゲージの定義

geDIG ゲージ \mathcal{F} を以下のように定義する：

$$\mathcal{F} = \Delta EPC_{norm} - \lambda (\Delta H_{norm} + \gamma \cdot \Delta SP_{rel}) \quad (1)$$

ここで $\Delta IG_{norm} = \Delta H_{norm} + \gamma \cdot \Delta SP_{rel}$ とおくと、 $\mathcal{F} = \Delta EPC_{norm} - \lambda \Delta IG_{norm}$ と書ける。各項の意味を表 1 に示す。

解説：本実装では \mathcal{F} が負の範囲に収まりやすく、絶対値よりもベースラインとの差が重要である。実 Attention は Random より \mathcal{F} が 0 に近づき、より構造化された状態と解釈する。したがって本稿では $\Delta F = F_{real} - F_{random}$ を主要な比較指標として扱う。

2.5 二段ゲート：AG/DG

geDIG は本来、0-hop と multi-hop の二段階で評価を行う：
AG (Attention Gate) : 0-hop 評価。局所的な編集直後の状態を評価し、「曖昧さ・不確実性」を検知する。 $g_0 > \theta_{AG}$ ならば探索を深化させる (FEP 的な予測誤差最小化)。

DG (Decision Gate) : Multi-hop 評価。複数ステップ先までの構造効率を評価し、「短絡（ショートカット）」の形成を確認する。 $g_{min} < \theta_{DG}$ ならば統合を確定する (MDL 的な記述長削減)。

本研究の Attention 適用では、この二段構造を「層をまたいだ情報の流れ」として再解釈する。

3. 関連研究と位置づけ

Attention の解析や重要度評価に関しては、ヘッドの可視化や役割分担の分析 [7]、および剪定 (pruning) に向けた重要度推定 [8] が広く用いられてきた。これらは有用だが、なぜその Attention が良いのかを説明する原理的指標は明確でない。

一方、FEP[4] や MDL[5] は、それぞれ「予測誤差の最小化」、「記述長の最小化」という強い理論的枠組みを提供する。geDIG はこれらを操作的に橋渡しし、構造編集の価値を単一スカラーで評価する点に特徴がある。本稿の位置づけは、Attention 解析を構造評価のゲージとして再定義する試みである。

4. Attention への適用

4.1 Attention からグラフへの Mapping

1 つの Attention ヘッドの重み行列 $A \in \mathbb{R}^{L \times L}$ (L はシーケンス長) から有向グラフ $G = (V, E)$ を構築する。

- 頂点 : $V = \{1, \dots, L\}$ (トークン位置)
- 辺 : $E = \{(i, j) \mid A_{ij} > \tau\}$ (閾値 τ を超える接続)

閾値 τ は上位 10 パーセンタイルとし、Pad トークンおよび causal mask (GPT 系) を適用後に評価する。

4.2 各項の計算方法

Attention 適用での各項の計算を以下のように定める：

- ΔEPC_{norm} : エッジ密度 = $|E|/L^2$
- ΔH_{norm} : Attention 分布のシャノンエントロピーを $\log L^2$ で正規化
- ΔSP_{rel} : 最大弱連結成分での平均最短路長の相対ゲイン

パラメータは $\lambda = 1.0$, $\gamma = 0.5$ に固定した。シーケンスが長い場合、最短路計算はサンプリング (200 ペア) で近似する。

4.3 閾値設定と感度

Attention からグラフを構成する際の閾値 τ は結果の符号や分布に影響しうる。本研究ではパーセンタイル閾値 (上位 10%) を採用し、モデル間・層間での比較が安定することを優先した。固定の絶対閾値では、スケール差により ΔF の符号が反転することがあるため、補助的な分析に留める。

4.4 仮説：Transformer 推論は自由エネルギー最小化的挙動

上記の枠組みに基づき、以下の仮説を立てる：

H1 : 実 Attention は、ランダム/一様ベースラインより高い F 値 (0 に近い=より構造化) を示す。

H2 : 深層ほど F 値が上昇 (0 に接近) し、情報が「探索相」から「構造相」へ移行する。

H3 : F を損失に組み込んだ学習は、下流タスク性能に因果的な影響を与える可能性がある。

4.5 ベースライン

比較のため以下のベースラインを設定した：(1) **Random** : ランダム行列、(2) **Uniform** : 一様分布、(3) **Local** : 窓幅 $w = 5$ の局所 Attention、(4) **Diagonal** : 対角成分のみ。

5. 実験 1：記述的分析

5.1 実験設定

モデルとして bert-base-uncased[2] (12 層、12 ヘッド) や gpt2[3] (12 層、12 ヘッド) を使用した。Wikitext[6] から抽出した 200 件の短文サンプル (最大長 512 トークン) で評価し、各層・各ヘッドの F 値を算出した (計 $200 \times 12 \times 12 = 28,800$ サンプル/モデル)。追加検証として Llama 3.0/3.1 (各 32 層、32 ヘッド) と Phi-3-mini-4k-instruct を同様に評価した [12, 13, 14]。Wikitext の短文 63 件 (最大 120 文字、最大 256 トークン) を用い、計 $63 \times 32 \times 32 = 64,512$ サンプル/モデルを計測した。

表 2: 平均 ΔF (Real - Baseline, 数値は小数第 3 位で丸め)

モデル	ΔF_{rand}	ΔF_{uni}	ΔF_{local}	ΔF_{diag}
BERT	+0.11	—	—	—
GPT-2	+0.10	—	—	—
Llama 3.0	+0.116	+0.108	+0.190	+0.074
Llama 3.1	+0.116	+0.108	+0.190	+0.074
Phi-3	+0.060	+0.052	+0.144	+0.018

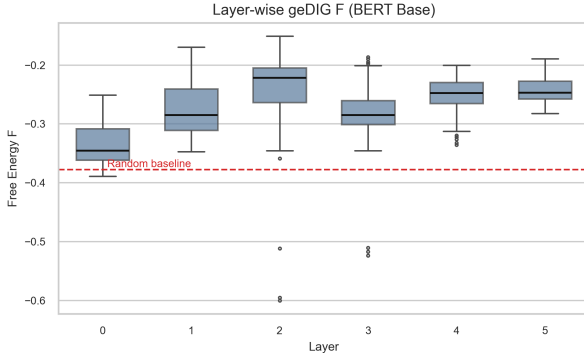


図 2: BERT の層別 F 値分布（箱ひげ）．赤点線は Random baseline の平均。

5.2 結果 1 : Real vs Random (H1 の検証)

表 2 に平均 ΔF (Real - Baseline) を示す。BERT/GPT-2 では Random のみ計測したが、両モデルで実 Attention は有意に高い F 値 (0 に近い=より構造化) を示す傾向があり、効果量は $d > 2.0$ と大きかった ($p < 0.001$)。ここでは F 値そのものを示すが、評価は ΔF (Real-Random) の符号と大きさに基づいて行う。

F 値の差 $\Delta F \approx 0.11$ は、操作的には「仕事」に相当する量として解釈できるが、本稿では比喩的解釈に留める。これはモデルがランダムノイズから「秩序」を獲得したことを見出す一つの定量的示唆である。

追加検証では、Llama 3.0/3.1 で $\Delta F_{\text{random}} \approx +0.116$ (正の比率 ≈ 0.995) となり、BERT/GPT-2 と同傾向が再現された。Phi-3 では $\Delta F_{\text{random}} \approx +0.060$ (正の比率 ≈ 0.73) と効果が弱いが、Uniform/Local/Diagonal の各ベースラインでも符号は維持された。

H1 は概ね支持された。

5.3 結果 2 : 層別の遷移 (H2 の検証)

図 2 に BERT の層別 F 値分布を示す。

- Layer 0 ($F \approx -0.34$)：高エントロピー、「探索相」
- Layer 1–2 ($F \approx -0.24$)：急激な上昇、「遷移」
- Layer 3+ ($F \approx -0.25$)：プラトー、「構造相」

これは物理における相転移 (気体 → 結晶) に類似した変化とみなせるが、ここでは比喩として扱う。浅層では多様な情報を広く収集し (探索)，深層では関連情報を効率的に統合する (構造化) と解釈できる。

追加検証では、Llama 3.0/3.1 は全層で $\Delta F_{\text{random}} > 0$ だった一方、Phi-3 は Layer 0 で $\Delta F_{\text{random}} < 0$ となり、浅層の探索性が強い可能性がある。

H2 は概ね支持された。

表 3: F 正則化の結果 (3 シード平均)

α	Accuracy (%)	Final F
0 (baseline)	86.00 ± 0.53	-0.448
0.001	86.33 ± 0.46	-0.447
0.01	86.27 ± 0.58	-0.452
0.1	85.93 ± 1.01	-0.466
1.0	78.93 ± 2.00	-0.515

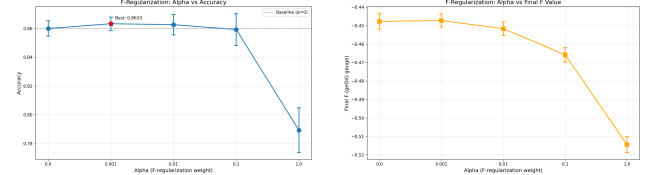


図 3: F 正則化の強さ α と指標の関係。左: 精度 (弱い正則化で改善)。右: 最終 F (強い正則化ほど低下)。

5.4 結果 3 : ヘッド多様性

同一層内でもヘッド間で F 値に差異が見られた。これは各ヘッドが異なる熱力学的状態を持ち、マルチエージェント的に振る舞う可能性を示唆する。geDIG はヘッドの「役割」を定量的に診断する指標となりうる。

6. 実験 2 : 因果的示唆 (F 正則化)

6.1 動機

実験 1 は相関を示すが因果は示さない。そこで、F を損失項に組み込んだ学習が性能に与える影響を検証し、geDIG の因果的示唆を検討する。

6.2 実験設定

DistilBERT[9] を SST-2[10] (感情分析) で fine-tuning し、損失関数を以下のように設定した：

$$L_{\text{total}} = L_{\text{CE}} + \alpha \cdot F_{\text{mean}} \quad (2)$$

ここで F_{mean} は全層・全ヘッドの F 値の平均である。 $\alpha \in \{0, 0.001, 0.01, 0.1, 1.0\}$ を sweep し、各設定で 3 シード (42, 123, 456) の平均を報告する。学習データ 2000 件、評価データ 500 件、3 エポック、バッチサイズ 16 で実験した。

6.3 結果

表 3 に F 正則化の結果を示す。

精度は逆 U 字カーブを描き、 $\alpha = 0.001$ で最高精度 **86.33%** (+0.33%)、 $\alpha = 1.0$ で 78.93% (-7%) となった。

この結果は以下を示す：(1) 弱い F 正則化は改善傾向：損失に F を組み込むことで性能向上に寄与、(2) 強すぎると有害：過度の正則化はタスク固有の情報を損なう、(3) geDIG は訓練目的の候補：F の寄与量を制御することで性能に影響を与える。

H3 を支持する傾向が得られた。

7. 考察

7.1 理論的含意

本研究の結果は、Transformer 推論を「自由エネルギー最小化的プロセス」として解釈する視点を支持する可能性を示す。

- 各層：情報の遷移 (探索相 → 構造相) を実現

- 各ヘッド：異なる熱力学的状態を持つマルチエージェント的挙動
- geDIG F：内部状態を追跡するゲージ

これは Attention を「情報の流れ」としてだけでなく、「構造の形成プロセス」として理解する新しい視点を提供する。Phi-3 で効果が弱いのは、蒸留や学習データ特性により注意分布の初期エントロピーが低く、 ΔF が縮小した可能性がある。

7.2 限界と今後の課題

本研究には以下の限界がある：

- 規模：DistilBERT + SST-2 という小規模設定
- 効果量： $+0.33\%$ は統計的に有意だが実用的には小さい
- 統計：層/ヘッド/文が入れ子構造であり、独立性仮定が厳密ではない
- 理論：F 正則化が「なぜ」効くかの厳密な説明は未確立

今後の課題として、大規模モデル（GPT-4 クラス）での検証、多様なタスクでの再現性確認、および geDIG と情報理論的指標（mutual information など）との関係解明が挙げられる。

8. 結論

本研究では、geDIG ゲージによる Attention 品質の熱力学的評価手法を提案した。FEP-MDL 橋渡しという理論的背景のもと、(1) 実 Attention が Random より構造化されていること ($d \approx 2.3$)、(2) 層別の遷移的挙動、(3) F 正則化による微小な性能向上 ($+0.33\%$) を示した。さらに Llama 3.0/3.1 で同傾向が再現される一方、Phi-3 では効果が弱いことを確認した。

これらの結果は、Transformer を「自由エネルギー最小化的に解釈する枠組み」を補強し、Attention 機構の設計・最適化に新しい視点を与えるものである。

参考文献

- [1] Vaswani, A., et al.: Attention Is All You Need, NeurIPS (2017).
- [2] Devlin, J., Chang, M.-W., Lee, K., Toutanova, K.: BERT: Pre-training of Deep Bidirectional Transformers for Language Understanding, NAACL-HLT (2019).
- [3] Radford, A., et al.: Language Models are Unsupervised Multitask Learners, OpenAI Technical Report (2019).
- [4] Friston, K.: The free-energy principle: a unified brain theory?, Nature Reviews Neuroscience, Vol.11, pp.127–138 (2010).
- [5] Grünwald, P. D.: The Minimum Description Length Principle, MIT Press (2007).
- [6] Merity, S., Xiong, C., Bradbury, J., Socher, R.: Pointer Sentinel Mixture Models, ICLR (2017).
- [7] Clark, K., et al.: What Does BERT Look At? An Analysis of BERT's Attention, BlackboxNLP (2019).
- [8] Voita, E., et al.: Analyzing Multi-Head Self-Attention: Specialized Heads Do the Heavy Lifting, the Rest Can Be Pruned, ACL (2019).
- [9] Sanh, V., Debut, L., Chaumond, J., Wolf, T.: DistilBERT, a distilled version of BERT: smaller, faster, cheaper and lighter, arXiv:1910.01108 (2019).
- [10] Socher, R., et al.: Recursive Deep Models for Semantic Compositionality Over a Sentiment Treebank, EMNLP (2013).
- [11] Lewis, P., et al.: Retrieval-Augmented Generation for Knowledge-Intensive NLP Tasks, NeurIPS (2020).
- [12] Meta AI: Llama 3 8B Model Card, Hugging Face (2024), <https://huggingface.co/meta-llama/Meta-Llama-3-8B>.
- [13] Meta AI: Llama 3.1 8B Model Card, Hugging Face (2024), <https://huggingface.co/meta-llama/Llama-3.1-8B>.
- [14] Microsoft: Phi-3 Mini 4K Instruct Model Card, Hugging Face (2024), <https://huggingface.co/microsoft/Phi-3-mini-4k-instruct>.